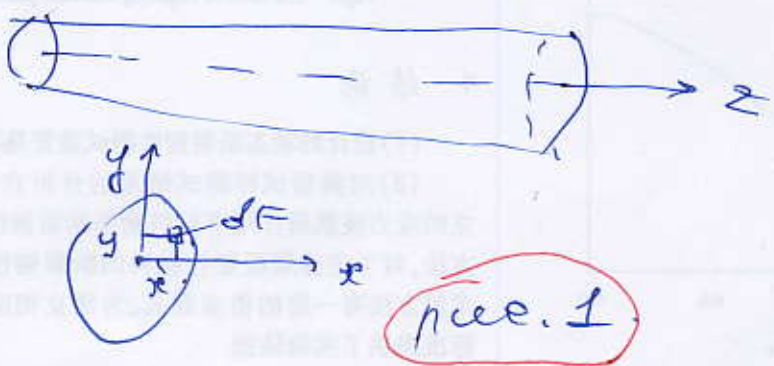


- 1^о) Стереоскоп - это, где разные котофото получены с помощью разных стереопар.
- Рассматриваемые изображения не могут пересечься.
- 2^о) Стереоскоп является информационным зеркалом стереоскопа изображениями зеркальных изображений.
- 3^о) Об обсерватории - это место, которое фотографирует через зеркало землю и небесные объекты.

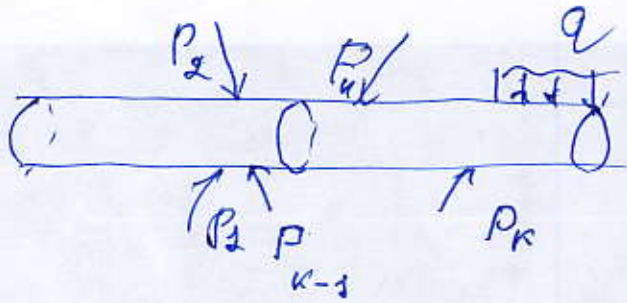


Формулы, по которым определяются
координаты y_T сцены имеют вид

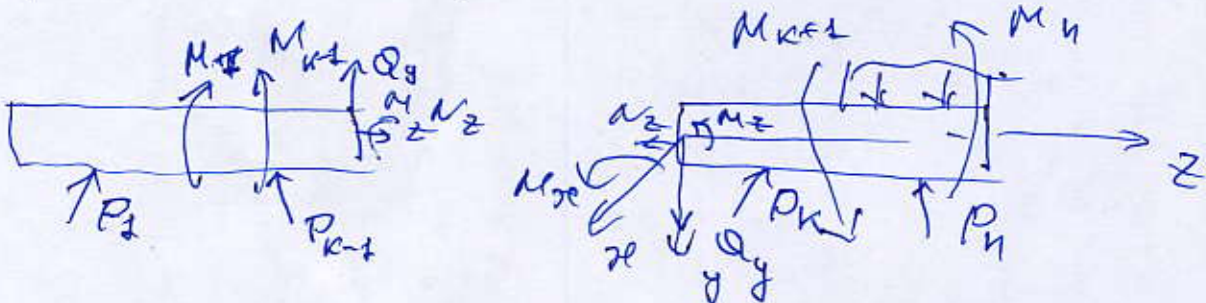
пос. 1. $x_e = \iint_F x dF; y_e = \iint_F y dF$ (1)

Рассмотрим - сцену, круглую
и зеркальную обсерваторию.

В круглую сцену фотограф
и на сцену - сцену круглую и
в зеркальную обсерваторию.



Разобъем стержня на K участков



M_x - изгибающий момент,

Q_z - трансверсальная сила,

N_z - кривляющий момент,

α_z - ингриибующая сила.

50) N_z, M_x, M_z, Q_z - физические единицы факторов.

Затем мы будем пользоваться, u^3 единицами измерения физических величин, связанных с физическими единицами.

$$Q_z + P_{2z} + \dots + P_{Kz} + \int q(z) dz = 0,$$

$$-M_z + P_{2z} + \dots + P_{Kz} = 0,$$

$$M_x + M_{xz} + \dots + M_{xx} + M_n(q) = 0,$$

$$-N_z + M_{xz} + M_{zz} = 0,$$

$$-M_z + M_{xz,z} + M_{zz,z} = 0.$$

(1)

Гипотезы, которые можно выделить при изучении пластичности - сдвиги, скручивание и изгиб стержней.

1. Гипотеза плюсовых сдвигов.

Плюсовые и минусовые к оси стержня сдвиги по деформируемым осям образуют плюсовые и минусовые к оси сдвиги выше деформируемых осям.

2. Стresses moment инфогибки, состоящим из бесконечного ряда инфогибок винтов, которых зигзаг сдвигом не может преодолеть.

Расщепление - сдвиги инфоминимумы сдвигов.

Онфогибка.

Сдвиговая нагрузка в сечении пластичности - сдвиги если только сила не равна 0.

$$G_2 = \lim_{\Delta F \rightarrow 0} \frac{\Delta P}{\Delta F} \rightarrow$$
$$\sigma_2 = \frac{N_{2\bar{z}}(q)}{F} \quad G_2 = \frac{P_1}{F}$$

Que...

Принцип Сен-Венана.

4

При поперечном сжатии стержня

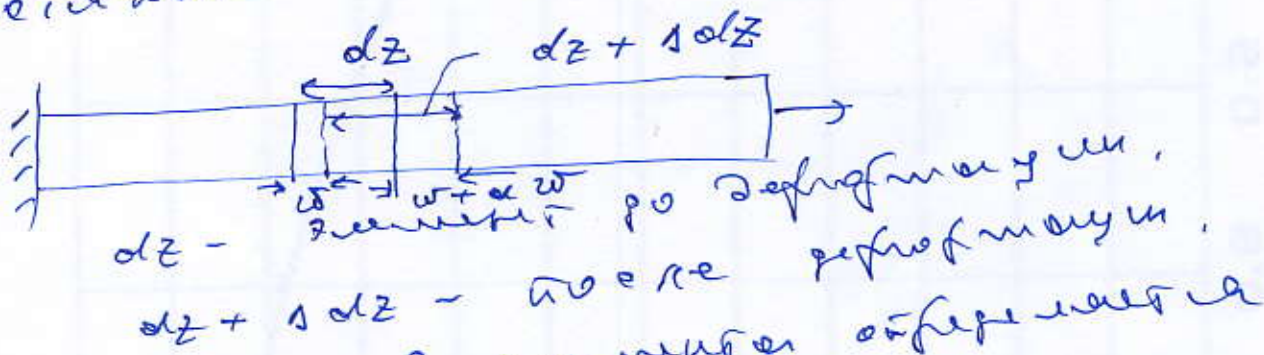
изотропное состояние более низкого напряженного состояния вдоль стержня не изменяется, а при поперечном сжатии получены напряжения симметричные относительно оси сжатия и называемые профильными (2).

Задача.

Принцип Сен-Венана для изогнутых и изогнутых криволинейных стержней.

Лекция 2

Defromatsiya стержня в изогнутом состоянии. Закон Гука.



Δw - разница в деформации.

$$\text{Defromatsiya элемента стержня} \rightarrow \frac{(\Delta w + \Delta \Delta w) - \Delta w}{\Delta w} \rightarrow \\ \text{процентный } \delta_w = \frac{\Delta w}{\Delta w}; \quad \Delta w = \Delta \Delta w;$$

$$\delta_w = \frac{\Delta \Delta w}{\Delta w} \quad (1)$$

Связь между деформацией и деформацией при поперечном сжатии стержня Гука:

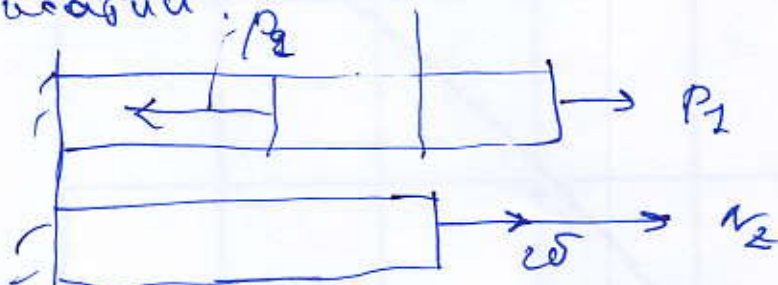
$$\sigma_w = E \delta_w \quad (2)$$

5

E - можні зігнути і пожати, але
могуть бути відриви.

Прогинение, відповідає кривизні
відхилення від параметру -
стиснення стискаючи та розтягуючи -

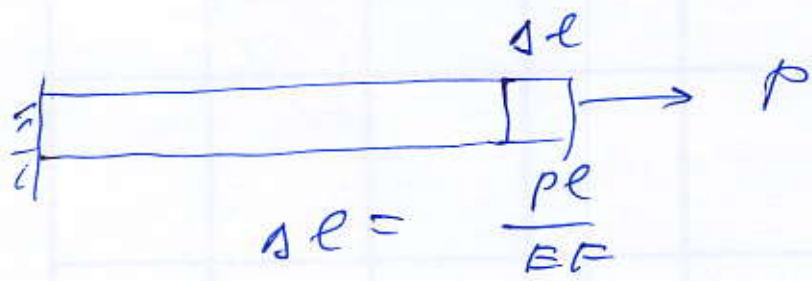
смажин:



$$\delta_z = \frac{d\omega}{dz} = \frac{\sigma_z}{E}, \quad d\omega = \frac{\sigma_z}{E} dz$$
$$d\omega = \frac{N_z}{EF} dz, \quad \omega = \int_0^z \frac{N_z}{EF} dz \quad (3)$$

де E, F - післяданий τ

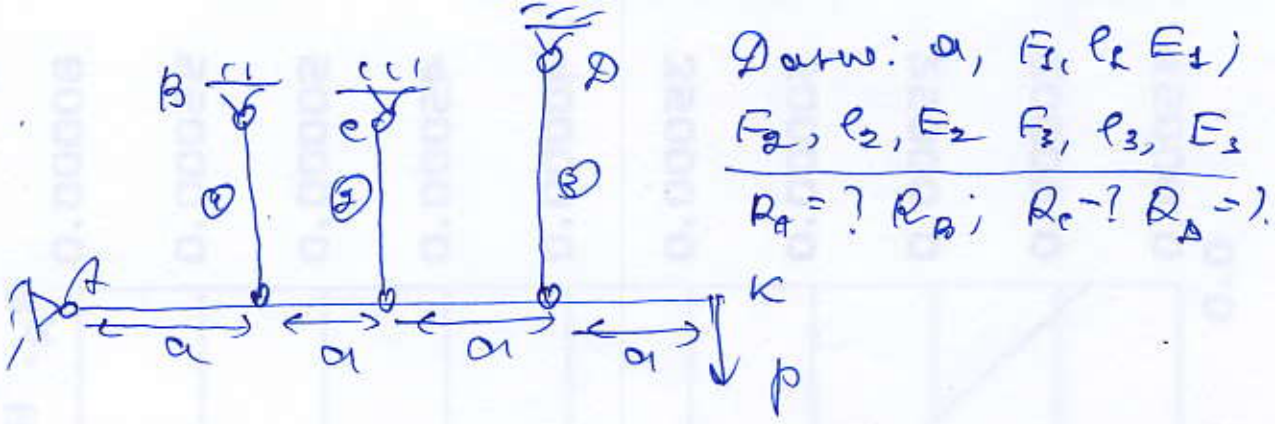
$$\omega = \frac{N_z}{EF} z \quad (4)$$



$$\Delta l = \frac{P\ell}{EF}$$

EF - величина стискаючи
параметр - смажин.

Стискаючи несуперечливі збурені
за параметром - смажин стискаючи



Дано: α , F_1, F_2, F_3

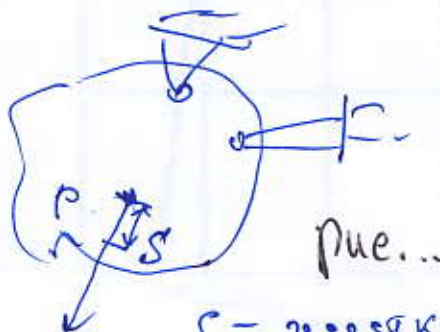
E_1, E_2, E_3

$R_A = ? R_B; R_C = ? R_D$

6

Теорема Раде-Лейбница.

При одинаковом (однократном) приложении силы к элементу интегральной формуле соответствует, форма тому правило звездочкой, что перемещение в точке применения этой силы.



$$DOK - \frac{F_0}{3}$$

$$F = \int c s' ds \Rightarrow$$

$$F = \frac{c s^2}{2}; \quad \rho = c s'$$

П.е....

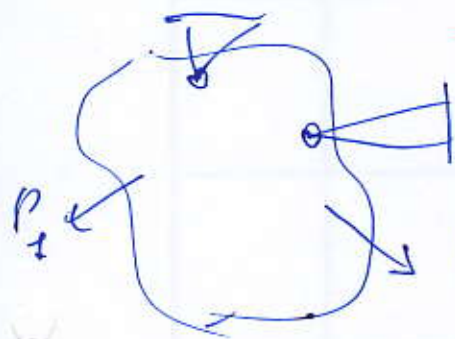
c - неизвест.

$$F = \frac{\rho s}{2} \quad (4)$$

Геометрическая закономерность работы (геометрия бифуркации). \otimes

Пары торов есть нефлюсы симметрии для
неприменимых бифлюсов симметрии работы
функции для бифлюсов симметрии для
неприменимых нефлюсов симметрии:

Док-лан



$$A_1 = \frac{P_1 S_1}{2} + P_2 \frac{S_2}{2} + P_1 S_{2,1}$$

$$A_2 = \frac{P_2 S_2}{2} + \frac{P_1 S_1}{2} + P_2 S'_{1,2}$$

Пос... $A_1 = A_2 \Rightarrow$

$$P_1 S_{2,1} = P_2 S'_{1,2} \quad (5)$$

Лекция №3

Дифракционный эксперимент для распространения
волн в гравитационном поле.



Причины неравенства между

коэффициентами w^{12} и w^2

$$R = \frac{1}{2} \int_{-\infty}^{\infty} F E \delta z dz - \int q(z) w^2 dz + \frac{1}{2} c w^2 (6) \quad (1)$$

$q(z)$ - характеристика для излучения

волн в земной коре, c - коэффициент интегрирования.

Но генерализованная неприменимость

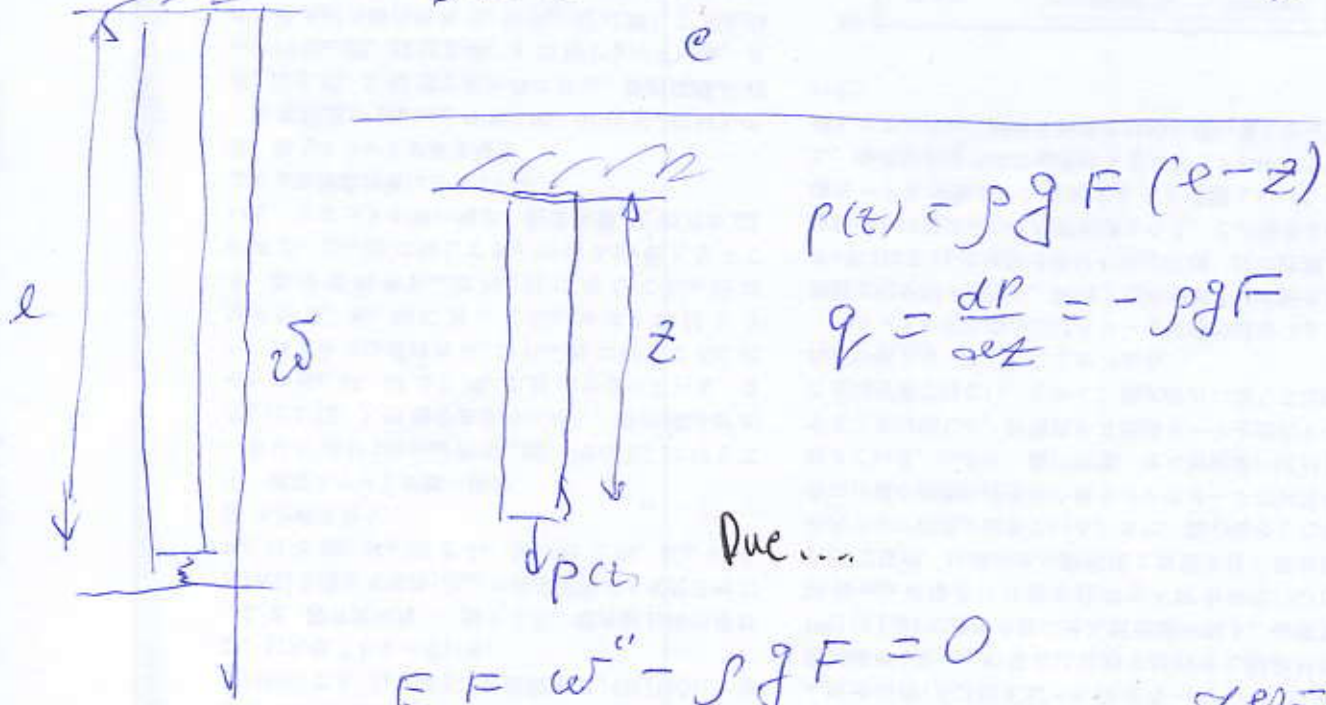
закона

$$\sum R = 0 \quad (2)$$

$\text{U3 (3) } \text{u. Bsp. } \tilde{\omega} \text{ gegen } \delta \omega \text{ mit } \delta \omega = 0$
 $\int_{\text{EF}}^e \omega' \delta \omega' dz - \int_q^e \delta \omega dz + c \omega(e) \delta \omega(e) = 0$
 $\int_{\text{EF}}^e \omega' \delta \omega' dz - \int_{\text{EE}}^e (\text{EF } \omega') \delta \omega dz -$
 $[\text{EF } \omega' \delta \omega]_e - \int_{\text{EE}}^e (\text{EF } \omega') \delta \omega dz -$
 $- \int_q^e \delta \omega dz + c \omega(e) \delta \omega(e) = 0.$ (3)

U3 (3) ferner:
 $\frac{d}{dz} (\text{EF } \omega' \delta \omega) + q(z) = 0$
 $\text{EF } \omega'(e) + c \omega(e) = 0$
 $\delta(0) = 0$ } (4)

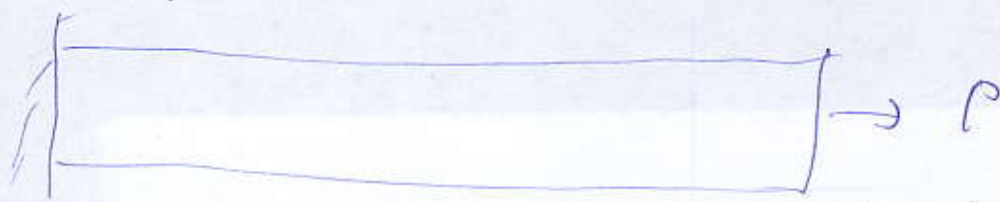
Auflösung: Lösungen mög. gegeben
 unter Beispiel:
 Daten: l , E -const, F -const,
 ρ
 c



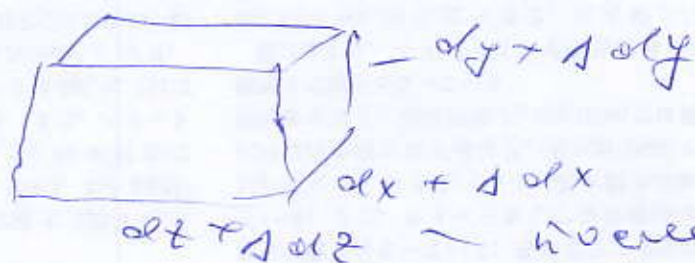
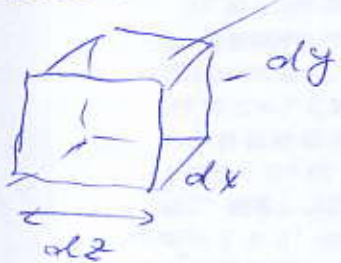
$$\text{EF } \omega'' - \rho g F = 0$$

$$\omega(0) = 0; \quad \text{EF } \omega'(e) + c \omega(e) = 0$$

Koeffizientenfaktor.



Parallelem zu den entsprechenden Sektorenwinkeln.
gesucht. zu reziprozieren.



$$dx + \delta dx = \text{neue}$$

Hinzu kommt ein für das gesuchte Ergebnis

$$\Delta dV = (dx + \delta dx)(dy + \delta dy)(dz + \delta dz) - \\ - \delta dx \delta dy \delta z = dV [(1 + \epsilon_x)(1 + \epsilon_y)(1 + \epsilon_z)] \approx \\ \approx \epsilon_x + \epsilon_y + \epsilon_z; \quad \epsilon_x, \epsilon_y, \epsilon_z \ll 1$$

$$\Delta dV = dy (\epsilon_x + \epsilon_y + \epsilon_z)$$

$$\epsilon_x = \epsilon_y = -\nu \epsilon_z;$$

→ Koeffizientenfaktor

$$\Delta dV = (1 - 2\nu) \epsilon_z dV \Rightarrow \\ 1 - 2\nu \geq 0; \quad 0 \leq \nu \leq \frac{1}{2}.$$

Reziprozität: Geometrieverluste
ausdrückbar in inverser Ordnung.

Лекция 5:

80

Круговое сопротивление изгибу и
напряжения среза.

При круговом изгибе $M_z = M_{xy} \neq 0$

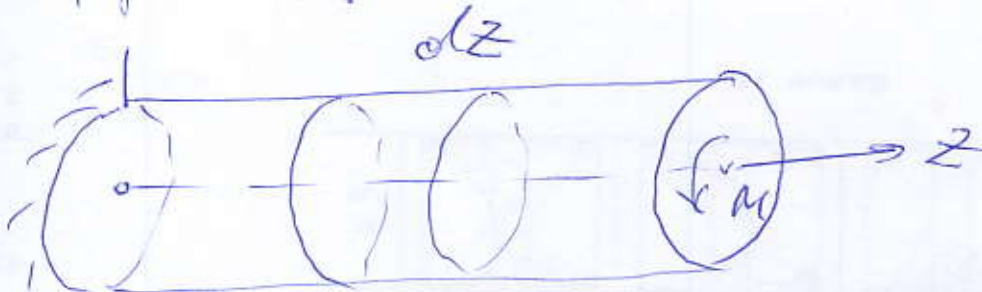
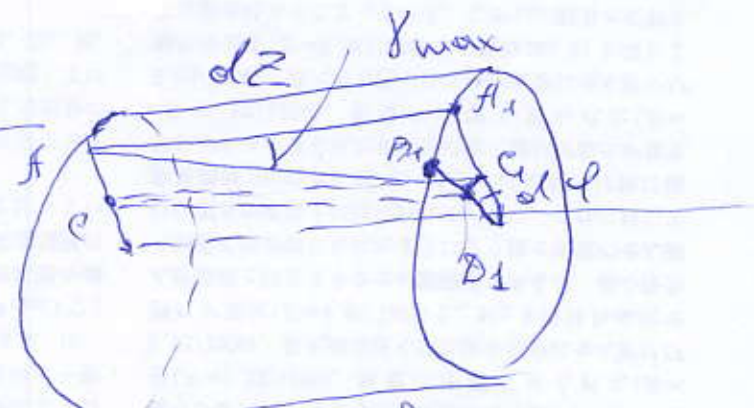
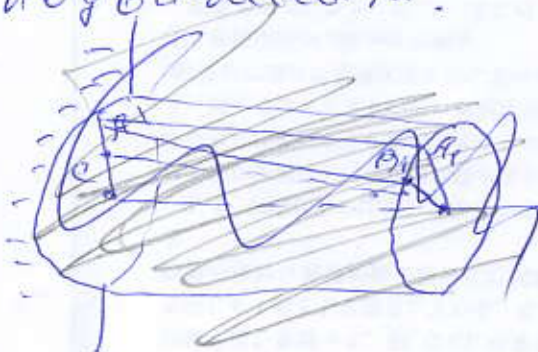


Рис....

Изогиб.

1. Круглое и плоское сопротивление изгибу
действует при одностороннем круговом и
плоском изгибе деформации
2. Плоское напряженное состояние сопротивление
в изогнутой деформированной круговой
пластине зависит от величины изгиба
угла.

Возникает из сопротивления изгибу изгиба
максимальный изгибющий момент dZ .
Небольшое сопротивление изгибу
изогнутой пластинки.



φ - угол изгиба сечения.
 $d\varphi$ - изменение угла изгиба
 $\gamma_{max} dZ = R d\varphi$, $\gamma_{max} = R \frac{d\varphi}{dZ}$

$\frac{d\varphi}{dt} = \Omega$ - omdraaiingssnelheid van zonkfiguur bewerkt. (1)

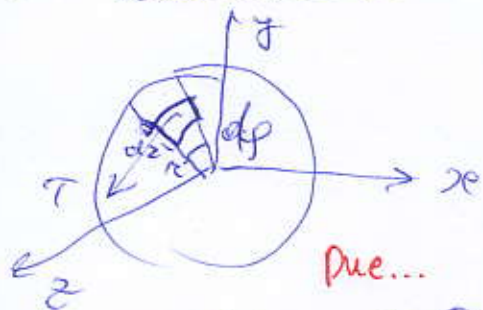
$$\gamma = r \frac{d\varphi}{dt} = r \Omega$$

3 - kwh Typer gelaagde cijfers

$$\tau = G \gamma \Rightarrow \tau = G r \Omega; \tau_{max} = G R \Omega$$

τ - konstante reaktionskracht.

$$M_z = \iint \tau r dF = \iint G r^2 \Omega dF \rightarrow$$



$$M_z = G \Omega \iint r^2 dF$$

$$M_z = G \Omega I_p; I_p = \frac{\pi R^4}{2}$$

$$\Omega = \frac{M_z}{G I_p} \quad (1) \quad EF - wortelroot cijfers vanaf kfgzenuw.$$

$$\Omega = \sqrt{\frac{M_z}{I_p}} \Rightarrow \tau_{max} = \frac{R M_z}{I_p}$$

$$\omega_p = \frac{I_p}{R} \Rightarrow \omega_p = 0,2 \text{ rad}^3$$

d - gemaatd hoekmoment cijferen

ω_p - hoekmoment moment constante kfgzenuw cijfers.

$$\tau_{max} = \frac{M_z}{\omega_p} \quad (2)$$

of my source (1) en (2) moet worden gebruikt om een aantal parameters van wortelroot of een aantal parameters van kfgzenuw cijfers.

een wortelroot

$$\tau_{max} \leq E \tilde{\tau}$$

[E] - getrokken meer
waarsch. waardes van de vaste

$$\frac{M_2}{\sigma T p} \leq \alpha^3; \quad d_1 \geq \sqrt[3]{\frac{M_2'}{\sigma_p^2 \sigma T}}$$

pariit na informacii veleri vektor

$$\alpha \leq \sigma T p; \quad d_2 \geq \sqrt[4]{\frac{M_2'}{\sigma_p^2 \sigma T}}$$

P rozetka mire depozit
efektivnye faynshteynov zvezdnye uzly

Primer. Padova

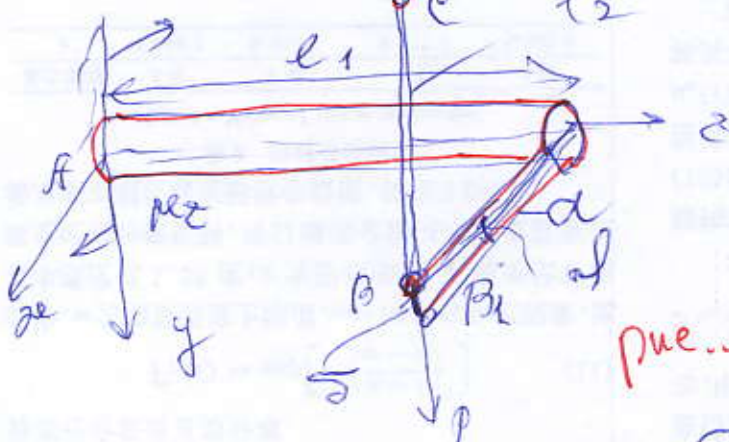
if you no bishota no refekt no
orekst refektivnost' vsego (20 opelektof
no faynshteyn).

$$d\varphi = \frac{M_2}{\sigma T p} dz \Rightarrow$$

$$\varphi = \int_0^z \frac{M_2}{\sigma T p} dz$$

Primer. Padova reflektivnost'
ceremni na fastavesh - evaku

a reflektivnost' Re



$l_1, T_p G, \alpha, F, E, P_{c2}$

$$\Delta l_2 = \frac{Re \cdot l_2}{EF};$$

Re...

$$\varphi = \frac{M_2 l_1}{\sigma T};$$

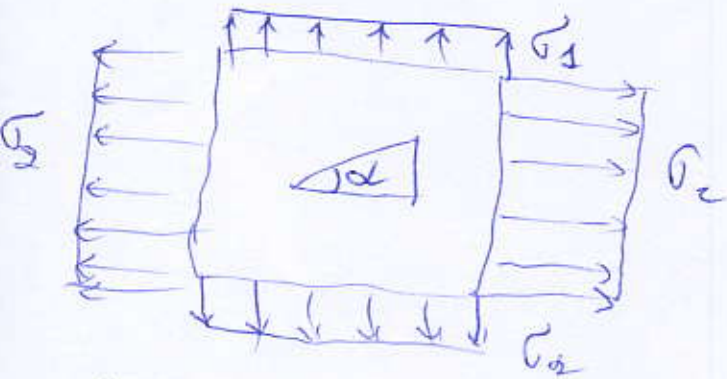
$$-Re\alpha - M_2 + \rho\alpha = 0$$

$$\varphi \cdot \alpha = \frac{Re l_2}{EF}$$

Решение №6.

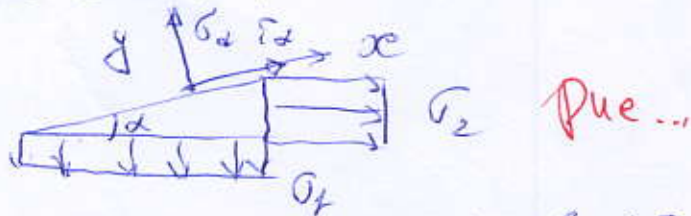
13

При изучении инженерии в
гимназии взыскивается
затраты на производство.



Две....

Вспомним балансные уравнения
для узлов



Две...

$$\sum X_i = \bar{G}_x \delta F + \bar{G}_2 \delta F \sin \alpha - \bar{G}_4 \delta F \cos \alpha \sin \alpha = 0$$

$$\bar{G}_x = \frac{\bar{G}_1 - \bar{G}_2}{2} \sin \alpha \quad (1)$$

$$\sum Y_i = \bar{G}_y \delta F - \bar{G}_1 \delta F \cos \alpha - \bar{G}_2 \delta F \sin^2 \alpha = 0$$

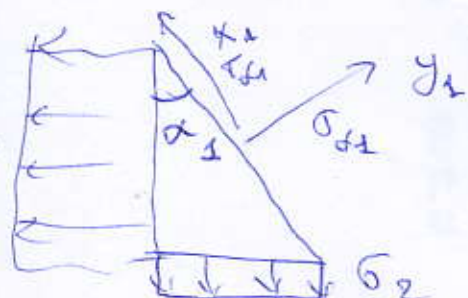
$$\bar{G}_y = \bar{G}_1 \cos^2 \alpha + \bar{G}_2 \sin^2 \alpha \quad (2)$$

$$\bar{G}_z = \frac{\bar{G}_1 + \bar{G}_2}{2} + \frac{\bar{G}_1 - \bar{G}_2}{2} \cos 2\alpha \quad (3)$$

Вспомним балансные уравнения
для узлов

$$\text{и } \sum X_i = \bar{G}_{dx} \delta F - \bar{G}_1 \delta F \sin \alpha +$$

$$+ \bar{G}_2 \delta F \cos \alpha \sin \alpha = 0$$



Две...

$$\bar{G}_{dx} = \frac{1}{2} (\bar{G}_1 - \bar{G}_2) \sin 2\alpha_1 \quad (4)$$

$$\sum Y_{si} = \bar{G}_{dy} \delta F - \bar{G}_1 \delta F \cos^2 \alpha_1 - \bar{G}_2 \delta F \sin^2 \alpha_1 = 0$$

$$\bar{G}_{dy} = \frac{\bar{G}_1 + \bar{G}_2}{2} + \frac{\bar{G}_1 - \bar{G}_2}{2} \cos 2\alpha_1 \quad (5)$$

Берем $\sigma_1 = \sigma_2$, то имеем
 $\tau_x = \tau_{xz} = 0$ и $\tau_{xx} = \tau_{xz}$, то
 определяем закон напряжений в координатных
 направлениях.

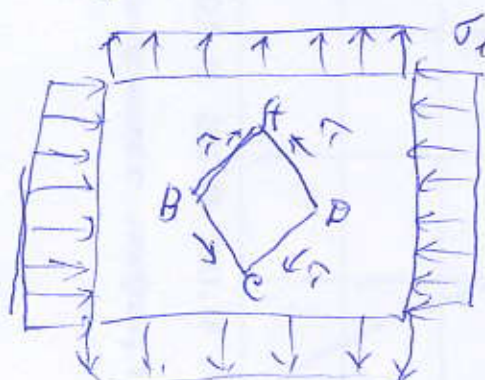
Касательные напряжения на граничных
 неподвижных торцах равны нулю.
Таким образом.

$$1^{\circ} \quad \sigma_1 = \sigma_2 = \sigma,$$

$$\tau_x = \tau_{xz} = 0; \quad \tau_{xx} = 0$$

Имеем чисто биелообразное распределение
 касательных напряжений.

$$2^{\circ} \quad \sigma_1 = \sigma; \quad \sigma_2 = -\sigma$$



$$\alpha = 45^\circ$$

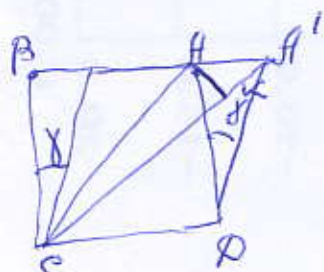
$$\sigma_x = 0$$

$$\tau_x = \sigma$$

Далее получаем σ
 в координатах x
 и y с помощью метода сечений.

При...

Вариант сечениями можно решить.



$$\gamma = 45^\circ; \quad \sigma - энтузия
 сбрасываем.$$

$$AC = \frac{l}{\cos 45^\circ} = l\sqrt{2}$$

$$\text{При....} \quad AA' = l \operatorname{tg} \gamma = l \gamma : \text{т.к. } \gamma \leq 45^\circ$$

$$KA' = AA' \cos 45^\circ = l \gamma \frac{\sqrt{2}}{2};$$

(15)

$$\text{Deforrmations } \epsilon = \frac{KA'}{E\sqrt{2}} = \frac{\epsilon \gamma \sqrt{2}}{E\sqrt{2}2}; \quad \epsilon = \frac{\gamma}{2}$$

$$\epsilon = \frac{\sigma}{E} + v \frac{\sigma}{E} \Rightarrow \frac{\gamma}{2} = \frac{1}{E} (\gamma + v) \cdot \sigma$$

$$\tau = G \cdot \gamma; \quad \Rightarrow \quad G = G \cdot \gamma$$

$$\gamma = \frac{\sigma}{G}; \quad \frac{\sigma}{G} = \frac{1}{E} (\gamma + v) \sigma \Rightarrow$$

$$G = \frac{E}{2(\gamma + v)}$$

Parallele Verformungen erzeugen
gleichzeitig γ - und σ -Werte.